

بررسی ویژگی‌های ماده آلی و مدل‌سازی حرارتی شیل سیاه قاعده‌ای گروه شمشک (تریاس بالایی-ژوراسیک میانی) در برش طزره، البرز خاوری، شمال ایران

علی شکاری‌فرد^۱، فرانسوا بودن^۲، کاظم سیدامامی^۳، یوهان اشندر^۴، حسین رحیم‌پور‌بناب^۵

^۱دانشکده مهندسی شمی، مؤسسه مهندسی نفت، پردیس دانشکده‌های فنی، دانشگاه تهران، تهران، ایران.

^۲ مؤسسه علوم زمین پاریس، دانشگاه ششم پاریس و مرکز ملی تحقیقات علمی، دانشگاه پیر و ماری کوری، پاریس، فرانسه.

^۳دانشکده مهندسی معدن، پردیس دانشکده‌های فنی، دانشگاه تهران، تهران، ایران.

^۴دانشگاه زمین‌شناسی، پردیس علوم، دانشگاه تهران، تهران، ایران.

تاریخ دریافت: ۱۳۸۹/۰۳/۱۷

تاریخ پذیرش: ۱۳۹۰/۰۳/۱۷

چکیده

ویژگی‌های ژئوشیمی (پیروزی راک-اول و تجزیه عنصری کروزن)، پالینوفاسیس و سنگنگاری آلی (با استفاده از میکروسکوپ نور عبوری، بازتابی و فرابینش) شیل سیاه قاعده‌ای گروه شمشک (تریاس بالایی-ژوراسیک میانی) در برش طزره (البرز خاوری) بررسی شده است. شیل سیاه قاعده‌ای غنی از ماده آلی بی‌شکل به همراه مقدار کمتری ذرات پراکنده ویترینیت است که در شرایط احیا تا نیمه احیا در محیط دریاچه‌ای رسوب کرده است. بر اساس مقادیر بازتاب ویترینیت (mean VRr=2.1%) ماده آلی در شیل سیاه قاعده‌ای بلوغ حرارتی زیادی را طی تدفین ژرف تجربه کرده است. در نمونه‌های مورد مطالعه میانگین کربن آلی باقیمانده ۱ درصد است. نتایج مدل‌سازی حرارتی با استفاده از نرم افزار یک بعدی Genex4 نشان می‌دهد که شیل سیاه قاعده‌ای گروه شمشک در محدوده زمانی ژوراسیک میانی-کرتاسه آغازین بالغ شده و هیدروکربن تولید کرده است. در حال حاضر این رخساره در برش طزره، واجد ماده آلی فوق بالغ و فقیر از هیدروژن است که در پنجه تولید گاز خشک قرار دارد. این رسوبات در حال حاضر به عنوان منابع گاز شیل (Shale Gas) قابل توجه هستند.

کلیدواژه‌ها: مدل‌سازی حرارتی، ارزیابی سنگ مادر هیدروکربن، گروه شمشک، تریاس بالایی-ژوراسیک میانی، برش طزره، البرز، شمال ایران

E-mail: ashekary@ut.ac.ir

*نویسنده مسئول: علی شکاری‌فرد

۱- مقدمه

مطالعه برای مثال در برش طزره، این رخساره با ناپیوستگی هم‌شب و مشخص بر روی سنگ‌های دولومیتی و آهک‌های کارستی شده سازند الیکا (تریاس میانی) قرار دارد. از سوی دیگر، این توالی در بالا نیز با ناپیوستگی هم‌شب توسط رسوبات مارنی و آهکی سازند دلیچای (ژوراسیک میانی) پوشیده شده است. از لحاظ سنگ‌شناختی، این رخساره تقریباً به‌طور کامل شامل رسوبات سیلیسی-آلاری همچون رسوبات سیلتی-رسی، سیلت‌سنگی، ماسه‌سنگی و کمی کنگلومرا به‌همراه عدسی‌های زغالی و شیل‌های غنی از کربن است که به‌ندرت سنگ‌های کربناتی در بخش قاعده‌ای آن قابل مشاهده است. این رسوبات در محیط دریایی و غیردریایی شامل دریای احشایی، دریاچه‌ای، مردابی و رودخانه‌ای تا دریای کم‌زرفا تا به‌نسبت ژرف نهشته شده است. از ویژگی‌های مهم گروه شمشک رخداد افق‌های غنی از ماده آلی به‌صورت عدسی‌های اقتصادی زغال‌سنگ و همچنین رسوبات سیلیسی-آلاری دانه‌ریز غنی از کربن آلی است که در سطوح مختلف چینه‌شناسی گروه شمشک قابل مشاهده است (Seyed-Emami et al., 2006; Shekarifard et al., 2009, 2012).

بر اساس تجزیه رخساره و نرخ فرونشینی زمین‌ساختی دو فرضیه در مورد جایگاه زمین‌ساختی گروه شمشک در البرز ارائه شده است. Fürsich et al. (2009) بر این باورند که گروه شمشک نتیجه فرایندهای همزمان و پس از برخورد فاز کوهزایی سیمیرین آغازین در شمال ایران است. بخش پایینی گروه شمشک بیشتر دارای رسوبات سیلتی-رسی است و ویژگی رسوبات فیلیش را نشان می‌دهد. در ادامه، به‌ویژه در بخش شمالی البرز، رسوبات مولاس و درشت مانند کنگلومراست جواهرده (بیش از ۱۰۰۰ متر) بر روی رسوبات فیلیش نهشته شده‌اند. این رسوبات پرشدگی یک حوضه پیش‌بوم را نشان می‌دهند. در نواحی جنوبی تر البرز، بخش بالایی گروه شمشک در زمان توآرسین-باجوسین تحت تأثیر فاز کششی حاصل از فروزانش پوسته اقیانوسی نوتیس به زیر ایران مركزی قرار گرفته و

وجود گل‌فشن‌های فعال، چشم‌های نفت و گاز در بخش‌های شمالی حوضه البرز و همچنین وجود منابع هیدروکربنی در حاشیه جنوبی دریای خزر بیانگر وجود سیستم‌های نفتی فعال در منطقه است. رخساره‌های دارای ماده آلی گروه شمشک (تریاس بالایی-ژوراسیک میانی) در حوضه البرز یکی از سنگ‌منشأهای مهم هیدروکربنی با گسترش وسیع هستند که اغلب بلوغ زیادی را تحمل کرده‌اند (Rad, 1982; Rahimpour-Bonab et al., 2002; Shekarifard et al., 2009)

در ارزیابی یک سیستم نفتی به‌ویژه حوضه‌هایی که دارای سنگ منشاً فوق بالغ هستند، تعیین زمان هیدروکربن زایی بسیار مهم است. به کمک مدل‌سازی حرارتی و با استفاده از داده‌های چینه‌شناسی و همچنین داده‌های حرارتی اندازه گیری شده از سنگ‌های مورد مطالعه، می‌توان زمان تولید هیدروکربن را از یک سنگ منشاً فوق بالغ بازسازی کرد (Beicip-Franlab, 1995). با توجه به رخداد فازهای مختلف زمین‌ساختی و بالا‌آمدگی در حوضه البرز، در ک زمان تولید هیدروکربن از رخساره‌های دارای ماده آلی فوق بالغ به‌منظور ارزیابی میزان حفظشدنگی و امکان به دام افتادن هیدروکربن‌های تولیدی، ضروری است.

در این پژوهش با استفاده از روش‌های ژئوشیمیایی (پیروزی راک-اول و تجزیه عنصری کروزن)، سنگ‌نگاری ماده آلی (میکروسکوپ نور عبوری، بازتابی و فرابینش)، مقادیر بازتاب ویترینیت و همچنین مدل‌سازی یک‌بعدی حوضه ضمن بررسی ویژگی‌های ماده آلی، زمان بلوغ و تولید هیدروکربن از شیل سیاه قاعده‌ای گروه شمشک در برش طزره مورد مطالعه قرار می‌گیرد.

۲- چینه‌شناسی و جایگاه زمین‌ساختی گروه شمشک

گروه شمشک به سن تریاس بالایی-ژوراسیک میانی با سترایی بین ۱۰۵۰ متر در برش الگوی شمشک (Assereto, 1966) تا ۳۹۰۰ متر در برش طزره در حوضه البرز رخنمون یافته است (Fürsich et al., 2005). در برخی از نقاط مورد

هیدرولوگی کربن در گرم کل کرین. متغیر اخیر انواع مختلف کروزن را نشان می‌دهد (Espitalié et al., 1985a, 1985b, 1986).

۴-۲. کلسی‌متزی و تجزیه لکو (LECO)

مقدار کربنات کلسیم موجود در نمونه‌ها از روش بمب کربنات (Carbonate bomb) (با اندازه‌گیری حجم گاز متصاعد شده) تعیین شد. در این مطالعه میزان کل کربن آلی به روش IR-212 LECO IR و تعیین میزان کربن غیرآلی اندازه‌گیری شد. در این روش پودر نمونه در دمای ۱۰۰ درجه سانتی‌گراد با اکسیژن خالص سوزانده و مقدار کربن با اندازه‌گیری میزان CO_2 تولید شده تعیین می‌شود. در این روش هر چند سوختن ماده آلی کامل‌تر است، اما کربنات‌ها نیز تجزیه می‌شوند. با توجه به اینکه نتایج لکو یک نمونه بیانگر مجموع کربن آلی و غیرآلی است، میزان کل کربن آلی (TOC) از اختلاف بین کل کربن به دست آمده از لکو با کربن غیرآلی موجود در نمونه به دست آمده است.

$$\text{[CaCO}_3/8.33\text{]} = \text{C}_{\text{organic}} - \text{C}_{\text{total}} - (\text{C}_{\text{CO}_2}/8.33)$$

را نشان می‌دهد.

۴-۳. پالینوفاسیس، سنگ‌نگاری آلی و تجزیه عنصری کروزن

به منظور تعیین ویژگی‌های پالینولوژیکی ماده آلی، ۵ نمونه انتخاب، با استفاده از اسید کلریدیریک (۳٪ درصد) و اسید فلوریدیریک (۷۰٪ درصد) تخلیص کروزن و در مجموع ۳۰ اسالاید فیلتر شده و فیلترنشده تهیه شد. اسلامیدها با استفاده از میکروسکوب نور عبوری مجهز به نور فرابنفش مطالعه شد. همچنین برای سنگ‌نگاری آلی، ۴ نمونه قرص و پلاک صیقلی تهیه و با استفاده از میکروسکوب نور بازتابی مجهز به نور فرابنفش مطالعه شد. شکل ۲ تصاویر میکروسکوپ نور عبوری و بازتابی از ماده آلی را در برخی نمونه‌های مورد مطالعه نشان می‌دهد.

میزان کربن، هیدرولزن، نیتروزن، اکسیژن و گوگرد از ۳ نمونه کروزن تخلیص شده از رخساره شیلی مورد نظر با استفاده از روش حرارتی EA 1112 Flash تعیین شد. سپس با استفاده از نمودار ون-کرولن (van-Krevelen) کیفیت، سطح بلوغ و منشاء ماده آلی مورد ارزیابی قرار گرفت.

۴-۴. اندازه‌گیری بازتاب ویترینیت

برای ارزیابی میزان بلوغ واقعی و همچنین استانداردسازی (Calibration) نتایج مدل‌سازی حرارتی از مقادیر بازتاب ویترینیت استفاده شد. اندازه‌گیری بازتاب ویترینیت یکی از روش‌های معتر برای تعیین میزان بلوغ حرارتی ماده آلی است (Taylor et al., 1998). میزان بازتاب ویترینیت نمونه‌ها در حالت غوطه‌وری در روغن ایمرسیون و به کمک عدسی $\times 50$ با استفاده از میکروسکوپ بازتابی مدل Leica DMR-XP انجام شد.

از نکات مهم در اندازه‌گیری بازتاب ویترینیت برای نمونه‌های دارای ذرات پراکنده و کوچک ویترینیت، تشخیص ویترینیت اولیه (Autochthonous) و ثانویه (Allochthonous) است. در این حالت، بهترین روش تشخیص، اندازه‌گیری اتفاقی بازتاب ویترینیت (VR) از تعداد زیادی ذره منتنسب به ماسوال ویترینیت و رسم منحنی نمودار فراوانی آن است. در این مطالعه برای هر ۴ نمونه انتخابی میزان بازتاب ویترینیت (VR) از ۱۳۰ تا ۵۰ ذره احتمالاً متعلق به گروه ویترینیت اندازه‌گیری و سپس با رسم نمودار، اجتماعات مختلف ویترینیت شناسایی شد. در این موارد گروهی که میانگین بازتاب کمتری دارند، نشان‌دهنده ویترینیت اولیه و اجتماعات بعدی با میانگین بازتاب بالاتر نشان‌دهنده ویترینیت ثانویه هستند. میانگین مقادیر بازتاب ویترینیت اولیه شناختگر بلوغ واقعی است (Hunt, 1995; Nzoussi-Mbassini et al., 2005). شکل ۳ نمودار مقادیر بازتاب ویترینیت را در برخی نمونه‌های شیلی مورد مطالعه از گروه شمشک نشان می‌دهد.

۴-۵. مدل‌سازی حرارتی

تاریخچه تدوین، بلوغ حرارتی و زمان تولید هیدرولوگی کربن از شیل سیاه قاعده‌ای گروه

در جایگاه کافت جوان رسوب کرده است. این مطالعه و برخی مطالعات دیگر (e.g. Seyed-Emami, 2003; Wilmsen et al., 2009) نیز جایگاه پیش‌بوم را برای گروه شمشک در البرز ارائه می‌دهد. باور (Shahidi et al., 2007) و Brunet et al. (2008) این است که گروه شمشک در محیط کافتی با ناخن فرونشینی بالا نهشته شده است. طبق نظر این پژوهشگران، فازهای فرونشینی زمین‌ساختی که در زمان رسوب گذاری گروه شمشک، البرز خاوری و مرکزی را تحت تأثیر قرار داده است، در ارتباط با نازک‌شدنگی پوسته و تشکیل کافت در حوضه خزر جنوبی هستند.

۳- برش مورد مطالعه و نمونه‌برداری

برش طزره در همسایگی معادن زغال‌سنگ طزره و در فاصله ۳۰ کیلومتری شمال خاور شهرستان دامغان و ۴۵ کیلومتری باخته شاهرود در دامنه جنوبی رشته‌کوه‌های البرز قرار دارد. شکل ۱ موقعیت محدوده مورد مطالعه و رخمنون سطحی گروه شمشک را در البرز نشان می‌دهد.

در برش طزره گروه شمشک به سن تریاس بالایی - باجوین و باستبرای ۳۹۰۰ متر یکی از سترترین و کامل‌ترین رخمنون‌های گروه شمشک در حوضه البرز است. در این برش، در بخش قاعده‌ای گروه شمشک توالی به نسبت ستری از رسوبات سیلتی و رسی سیاهرنگ رخمنون دارد که در این مقاله شیل سیاه قاعده‌ای نامیده می‌شود. این توالی با استبرای ۱۱۰ متر مربوط به افق ۲۶۰ تا ۳۷۰ متری از قاعده گروه شمشک است.

از دیدگاه چینه‌شناسی، این واحد شامل رسوبات سیلتی - رسی یکنواخت، بدون فسیل و به رنگ سیاه است که به تدریج به سمت بالا به تناوبی از شیل و ماسه‌سنگ‌های نازک‌لایه تبدیل می‌شود. در افق‌های ماسه‌سنگی لاپهندی مورب بزرگ‌مقیاس و لاپهندی مورب پشت‌ای (Hummocky cross-stratification) دیده می‌شود. این رسوبات رخساره‌های کربناتی لاکون یا دریای حاشیه‌ای را می‌پوشاند و به سمت بالا توسط رسوبات رودخانه‌ای با افق‌های زغالی جایگزین می‌شود. با توجه به شواهد رسوب‌شناسی، رنگ رخساره، میزان کربن آلی باقیمانده، نبود وجود آثار رد یا بقایای فسیلی، نبود آشفتگی زیستی و شناسایی فسیل دریاچه آب شیرین (Unionites) در افق‌های ماسه‌سنگی آن در نزدیکی برش مورد مطالعه (منطقه پرور)، این واحد در محیط دریاچه‌ای با شرایط قفسیر از اکسیژن رسوب گذاری کرده است (Fürsich et al., 2005; Fürsich et al., 2009; Shekarifard et al., 2009).

در این پژوهش، ۴۱ نمونه سطحی غیرهوازد به طور منظم و سامان‌مند از شیل سیاه قاعده‌ای (C14-C54) و ۸ نمونه نیز از سنگ‌های کربناتی (C1 to C8) از بخش قاعده‌ای گروه شمشک انتخاب شده است. ۵ نمونه دیگر (C9 to C13) از افق‌های بالاتر از برش طزره جمع‌آوری شده است.

۴- روش‌های تجزیه‌ای و مورد مطالعه

در این پژوهش پیرولیز راک-اول، کلسی‌متزی و تجزیه لکو، تخلیص کروزن و تهیه اسلامیدهای پالینوفاسیس در آزمایشگاه ژئوشیمی گروه زمین‌شناسی رسوبی دانشگاه پاریس ششم (Paris-06) انجام شد. مطالعات تعیین بازتاب ویترینیت، تهیه قرص صیقلی از کروزن و سنگ‌نگاری آلی در دانشگاه اورلائنز (Orleans-CNRS) و تجزیه عنصری کروزن‌های مورد مطالعه در دانشگاه لیل (Lille) فرانسه انجام گرفته است.

۴-۱. پیرولیز راک-اول

به منظور ارزیابی توان هیدرولوگی کربن‌زایی نمونه‌های انتخابی از دستگاه پیرولیز راک-اول (OSA III) استفاده شد. متغیرهای به دست آمده از این دستگاه عبارتند از: S_1 و S_2 بر حسب میلی‌گرم هیدرولوگی کربن در گرم سنگ، T_{max} به عنوان یکی از شاخص‌های بلوغ حرارتی بر حسب درجه سانتی‌گراد، میزان کل کربن آلی (TOC) بر حسب درصد وزنی و شاخص هیدرولزن $[HI = (S_2/TOC) \times 100]$ بر حسب میلی‌گرم

کربن آلی پس از اندازه‌گیری کربن غیرآلی محاسبه شده است. بر اساس نتایج تجزیه لکو، میزان کل کربن آلی در نمونه‌های مورد مطالعه بین ۵/۰ تا ۳/۳ درصد و به طور میانگین ۱ درصد وزنی است. با توجه به بلوغ حرارتی زیاد، کربن آلی تعیین شده مقادیر باقیمانده را نشان می‌دهد. بر اساس این مقادیر کربن آلی باقیمانده، شیل سیاه مورد مطالعه به طور اولیه یک سنگ مادر هیدروکربن نسبتاً خوب است (Bordenave, 1993); چرا که با فرض کروزن نوع II به عنوان کروزن اولیه، مقدار کربن آلی این رخساره به طور اولیه و در حالت نابالغ بیش از ۲ درصد وزنی بوده است (Littke & Leythaeuser, 1993; Ibrahimbas & Riediger, 2004).

پس از تحمل بلوغ حرارتی زیاد، میانگین شاخص هیدروژن نمونه‌ها بسیار کم، حدود ۹ میلی گرم هیدروکربن بر گرم کربن آلی است. پتانسیل زایش ($S_1 + S_2$) نمونه‌ها نیز بسیار پایین (۱٪). میلی گرم هیدروکربن بر گرم سنگ است. این متغیرها نشان می‌دهند که در حال حاضر شیل سیاه قاعده‌ای توان تولید هیدروکربن را ندارد و ماده آلی در این واحد تقریباً به طور کامل کربن بر جای مانده و فقیر از هیدروژن است. شکل ۵ نمودارهای ژئوشیمیایی مربوط به شاخص هیدروژن (HI)، کربن آلی (TOC) و Tmax نمونه‌های مورد مطالعه را با بخش قاعده‌ای گروه شمشک در بر شرط رخساره نشان می‌دهد.

به علت بلوغ حرارتی و دگرسانی شدید ماده آلی تشخیص نوع و منشاء کروزن با استفاده از نمودار HI-Tmax امکان پذیر نیست و مطالعات پالینوفاسیس و سنگنگاری آلی ضروری است (Bordenave, 1993). بر اساس شواهد پالینوفاسیس (مطالعه میکروسکوپی ماده آلی در نور عبوری)، نمونه‌های مورد مطالعه غنی از ماده آلی بی‌شکل (Amorphous OM) به رنگ قهوه‌ای تیره تا سیاه رنگ است که مقدار کم تا متوسط ذرات مات و گاه اسپورهای قهوه‌ای تیره نیز آن را همراهی می‌کنند. در یک مورد بقاوی بسیار دگرسان شده و مشکوک به جلبک دریاچه‌ای از نوع باتریوکوکوس (*Botryococcus algae*) نیز قابل مشاهده است. بر اساس شواهد سنگنگاری آلی (مطالعه میکروسکوپی ماده آلی در نور بازتابی)، بیشتر ذرات مات متعلق به ماسوال و پترینیت یا مواد شیشه و پترینیت با بازتاب خاکستری روشن است و کمرت اینترینیت قابل مشاهده است. ذرات و پترینیت به صورت ذرات شکل دار تایمه گرد شده دیده می‌شود که بر حسب اندازه، شکل و حضور یا نبود پیریت به و پترینیت اولیه و ثانویه (ردی و رک شده) نسبت داده می‌شود. در برخی موارد ذرات و پترینیت همراه با هاله اکسیدی قابل مشاهده است که نشان‌دهنده مراحل مختلف اکسیدشدنگی و هوازدگی است. وجود و پترینیت‌های کک شده نشانه خروج گاز طی بلوغ حرارتی زیاد است که در برخی نمونه‌ها قابل مشاهده است. در برخی موارد این ذرات مربوط به اجتماعات پیریت فرمبوبیدال با بازتاب زرد رنگ است (شکل ۲).

نمودارهای مربوط به داده‌های بازتاب و پترینیت اندازه‌گیری شده و مقادیر انحراف از استاندارد (۳/۸)، نیز نشان‌دهنده اجتماعات و گروههای مختلف و پترینیت است. مقادیر انحراف استاندارد بیش از ۰/۱ معرف وجود انواع مختلف و پترینیت است.

در نور فرابنفش (UV) هیچ یک از ذرات آلی بویه ماده آلی بی‌شکل خاصیت فلورسانس زایی ندارند که این بیانگر دگرسانی شدید و از دست‌رفتن هیدروکربن نمونه‌های است. با توجه به شواهد محیط رسوبی (نبود آثار رد فیزیکی و آشفتگی زیستی)، رنگ سیاه رخساره و همچنین وجود پیریت‌های فرمبوبیدال و مقدار کربن آلی باقیمانده، در هنگام رسوبرگداری شیل سیاه دریاچه‌ای (شیل سیاه قاعده‌ای) شرایط احیا تایمه احیا فراهم و شرایط حفظ شدگی ماده آلی به طور نسبی خوب بوده است. با در نظر گرفتن محیط رسوبی و شرایط حاکم، به احتمال زیاد ماده آلی بی‌شکل به عنوان بخش غالب ماده آلی در شیل سیاه قاعده‌ای از بقاوی تجزیه شده فیتوپلانکتون و باکتری‌های دریاچه‌ای منشأ گرفته است که در شرایط نابالغ

شممشک در برش طزره با استفاده از نرم افزار Genex4 مدل‌سازی و بازسازی شد (Beicip-Franlab, 1995). به دلیل نبود حفاری ژرف در محدوده مورد مطالعه، مدل‌سازی با رسم یک چاه فرضی بر مبنای اطلاعات چینه‌شناسی گروه شمشک و ردیف‌های سنگی روی آن آن‌جام شده است.

۵- نتایج و بحث

۵-۱. بلوغ حرارتی

میانگین مقادیر بازتاب و پترینیت به دست آمده از بخش قاعده‌ای گروه شمشک و واحد شیل سیاه قاعده‌ای (۴۰۰ متر قاعده‌ای گروه شمشک) بین ۱/۹ تا ۲/۲ درصد (میانگین ۲/۱ درصد) است. این عدد نشان‌دهنده بلوغ حرارتی زیاد بخش قاعده‌ای گروه شمشک در برش طزره است (شکل ۳). بر اساس مقادیر بازتاب و پترینیت به دست آمده، واحد شیل سیاه قاعده‌ای در بخش پایانی زون کاتائزرن قرار داشته و در حال حاضر نسبت به تولید هیدروکربن مایع فوق بالغ است.

اگر چه همواره نمی‌توان به داده‌های Tmax اعتماد کرد، اما مقادیر قابل قبول Tmax از چند نمونه مورد مطالعه در بخش قاعده‌ای گروه شمشک بین ۵۹۹ تا ۵۵۴ درجه سانتی گراد (میانگین ۵۷۴ درجه سانتی گراد) است که این مقادیر نیز بلوغ زیادی را نشان می‌دهد. در نمونه‌های بسیار بالغ در برخی نمونه‌های شیل سیاه قاعده‌ای ثبت (کمتر از ۴۰۰ درجه سانتی گراد) از برخی نمونه‌های شیل سیاه قاعده‌ای ثبت شده است. این مقادیر غیرعادی مربوط به شکست حرارتی بی‌تمن و هیدروکربن‌های سنگین و باقیمانده در نمونه است و شاخص بلوغ حرارتی نیست (Mongenot et al., 1996). برای مثال مقدار Tmax نمونه C17 حدود ۳۶۰ درجه سانتی گراد است در حالی که میزان بازتاب و پترینیت آن ۲ درصد است. گفتگی است این مقادیر غیرعادی از جدول داده‌ها حذف شده است.

شکل ۴ موقعیت کروزن‌های انتخابی از بخش قاعده‌ای گروه شمشک را بر روی نمودار ون-کروزلن نشان می‌دهد. این نتایج نیز همانند داده‌های بازتاب و پترینیت نشان‌دهنده بلوغ زیاد نمونه‌های مورد مطالعه است. بر اساس موقعیت نمونه‌ها، ماده آلی شیل سیاه قاعده‌ای در زون کاتائزرن قرار دارد و بخش پایانی مسیر تکاملی کروزن را نشان می‌دهد. نسبت اتنی H/C نمونه‌ها بین ۰/۴۴ و ۰/۴۸ درصد و نسبت اتنی O/C بین ۰/۰۸ و ۰/۱۴ درصد است. فقیر بودن نمونه‌ها از هیدروژن می‌تواند به علت بلوغ حرارتی، تولید هیدروکربن و همچنین اکسیداسیون بخشی ماده آلی باشد (Bordenave, 1993).

بر اساس نتایج بازتاب و پترینیت، داده‌های پیرولیز راک-اول و همچنین ترکیب عنصری کروزن، شیل سیاه قاعده‌ای گروه شمشک در برش طزره بسیار بالغ بوده و از پنجره تولید نفت گذشته و وارد پنجره تولید گاز شده است. بر اساس تاریخچه تدفین بازسازی شده گروه شمشک در برش طزره (مراجه به مبحث مدل‌سازی حرارتی)، شیل سیاه قاعده‌ای تدفین بسیار زیادی (حدود ۷۰۰۰ متر) را تحمل کرده است. با توجه به نبود شواهدی از ماقوماتیسم محلی در اطراف شیل سیاه قاعده‌ای، بلوغ زیاد این رخساره به تدفین ژرف طی رسوبرگداری نسبت داده می‌شود. بدینهای است که حتی با در نظر گرفتن شبیه زمین گرمایی کم تا متوسط برای این ناحیه، بلوغ مشاهده شده مربوط به ژرفای تدفین است. در صورتی که این واحد در حالت نابالغ غنی از کروزن نفت‌زا بوده باشد، حجم زیادی هیدروکربن (نفت و گاز) از این شیل غنی از ماده آلی تولید شده است.

۵-۲. مقدار، کیفیت و نوع ماده آلی

با توجه به بلوغ زیاد و نبود کربنات در نمونه‌های شیلی مورد مطالعه، میزان کربن محاسبه شده از تجزیه لکو (LECO) قابل قبول و معرف کل کربن آلی است (Vandenbroucke & Largeau, 2007). در نمونه‌های کربناتی کربناتی مورد مطالعه میزان کربنات کلسیم بین ۴۰ تا ۶۷ درصد است (جدول ۱). در نمونه‌های کربناتی میزان

مدل‌سازی کروژ نوع II برای شیل سیاه قاعده‌ای در نظر گرفته شده است (Fürsich et al., 2005). گفتنی است با توجه به شواهد پالینوفاسیس در بهمنظر مدل‌سازی دوره‌های کافت از روش کافت (Rift procedure) نرم‌افزار Genex4 استفاده شد. در این روش عامل کششی بتا نیز اضافه می‌شود و در این حالت پوسته نازک شده و جریان حرارتی بیشتر از سست کره تأمین می‌شود. در روش کافت نرم‌افزار، ستبرای پوسته ۳۰ کیلومتر و عامل بتا ۱/۴۵ در نظر گرفته شده است. عامل بتا معرف میزان نازک شدن گی پوسته است. این عامل بتا ۱ و ۳ قابل تغییر است. بتای ۳ بیشترین کشش و نازک شدن گی و بتای ۱ کمترین نازک شدن گی را در پوسته نشان می‌دهد (Beicip-Franlab, 1995).

با توجه به منحنی‌های تاریخچه تدفین گروه شمشک در برش طرده، بیشترین تدفین شیل سیاه قاعده‌ای گروه شمشک پس از رسوب گذاری گروه شمشک اتفاق افتاده است. بنابراین بیشترین درجه حرارت و بلوغی که شیل سیاه قاعده‌ای تجربه کرده است، مربوط به زمان رسوب گذاری گروه شمشک نبوده و این واقعه پس از ژوراسیک میانی، در زمان نئوژن و پیش از بالآمدگی البرز در میوسن عبارتند از: (Brunet et al., 2007; Shahidi, 2008) برآورد جریان حرارتی انجام گرفته بر اساس داده‌های بازتاب ویترینیت، بیانگر جریان حرارتی در زمان رسوب گذاری گروه شمشک نبوده و بنابراین در این مطالعه به آن پرداخته نشده است (Shekarifard et al., 2012).

در این نرم افزار با استفاده از منحنی نسبت تبدیل کروژن به هیدروکربن (Kerogen transformation ratio) می‌توان زمان ورود به پنجره تولید نفت و زمان بلوغ کامل یک سنگ مادر فوق‌بالغ را بازسازی کرد. طبق تعریف، نسبت تبدیل کروژن عبارت است از نسبت هیدروکربن تولید شده به بیشترین مقدار هیدروکربنی که می‌تواند طی بلوغ کامل یک سنگ مادر مولد هیدروکربن تولید شود (Beicip-Franlab, 1995).

شکل ۷ منحنی‌های نسبت تبدیل کروژن را برای شیل سیاه قاعده‌ای نشان می‌دهد. به طور تعجب‌آوری بیشترین نسبت تبدیل کروژن برای شیل سیاه قاعده‌ای گروه شمشک در برش طرده با فرض فرضیه‌های مختلف بسیار نزدیک به هم است و زمان ژوراسیک میانی تا کرتاسه آغازین را نشان می‌دهد.

طبق منحنی‌های نسبت تبدیل کروژن مدل‌سازی شده، فرضیه‌های مختلف جریان حرارتی و فرض جایگاه کافت و پیش‌بوم تأثیر چندانی بر زمان بلوغ شیل سیاه قاعده‌ای در برش طرده ندارد؛ بنابراین منطقی است پذیریم زمان بلوغ و تولید هیدروکربن از واحد شیل سیاه قاعده‌ای یا هر سنگ مادر هیدروکربن احتمالی واحد کروژن اولیه نوع II در بخش قاعده‌ای گروه شمشک در برش طرده بدون در نظر گرفتن جایگاه زمین‌ساختی مربوط به این زمان است. بخش قاعده‌ای گروه شمشک در ژوراسیک میانی وارد پنجره تفتی شده (نسبت ۱۰ درصد تبدیل کروژن) و بسیار سریع تقریباً در ژوراسیک پایانی - کرتاسه آغازین به حداکثر بلوغ رسیده است. بعد از آن طی رسوب گذاری رسوبات بعدی این واحد وارد مرحله فوق بالغ شده است. با توجه به اینکه زمان بلوغ کامل ماده آلی در شیل سیاه قاعده‌ای قبل از ناپوستگی‌های مهم (کرتاسه بالایی - پالئوسن و فازهای جوان‌تر) در گروه شمشک اتفاق افتاده است، بدون تردید این فازها بر بلوغ این رخساره آلی تأثیری نداشته است؛ بنابراین منطقی است مدل‌سازی تنها با فرض جریان‌های حرارتی متفاوت انجام گیرد. البته بهمنظر اطمینان بیشتر مدل‌سازی با فرض تغییر در زمان هیاتوس و همچنین فرض ستبرایهای متفاوت فرسایش‌یافته انجام شد که هیچ کدام روی بلوغ این واحد اثری نداشته است.

با فرض مدل کافت نیز زمان بلوغ و تولید هیدروکربن واحد شیل سیاه قاعده‌ای مربوط به پایان ژوراسیک میانی تا ابتدای کرتاسه آغازین تقریباً همزمان با رسوب گذاری سازنده‌ای دلیچای و لار است. در این زمان تقریباً تمام کروژن

غنى از هیدروژن بوده و توانایی تولید هیدروکربن را داشته است. به احتمال زیاد اين شيل ها در حالت نابالغ غنى از کروژن‌های نفت‌زا (دست‌کم کروژن نوع II) بوده است.

بر اساس شواهد ژئوشيمياي، پالينوفاسيس و سنگ‌نگارى آلى، شيل سیاه قاعده‌ای گروه شمشک در برش طرده پس از تدفین ژرف و تحمل بلوغ حرارتی زياد با از دست دادن مقدار زيادي هيدروکربن تبدیل به سنگ مادر فوق‌بالغ بسيار فقير از هيدروژن شده است که تنها توانايی توليد گاز خشك را دارد.

۵-۳. مدل‌سازی تاریخچه تدفین و زمان تولید هیدروکربن

مدل‌سازی حرارتی بر پایه يك سري معادلات فيزيكي و شيمياي ويزه‌اي استوار است که می‌توان به كمک آن و با در نظر گرفتن فرضيات مختلف زمين‌شناسي، تاریخچه بلوغ و همچنین تولید و خروج هيدروکربن را از يك سنگ مادر هيدروکربن بازسازی كرد (Tissot & Welte, 1984; Ungerer et al., 1990) . هر چند نتایج مدل‌سازی به میزان اعتبار و صحت اين فرضيات وابسته است، اما با اين وجود مدل‌سازی روش بسيار مفیدی برای تعیین صحت اين مفروضات است.

برای مدل‌سازی حرارتی و تاریخچه تدفین داده‌های ورودی به نرم‌افزار Genex4 عبارتند از: ۱) شب زمین‌گرمایي و يا جريان حرارتی عهد حاضر و گذشته، ۲) سن مطلق و ستبرای گروه شمشک و سنگ‌نگارى های جوان‌تر، ۳) سنگ‌شناسي و درصد فراوانی آنها در هر واحد يا سازنده، ۴) ناپوستگي ها، هياتوس ها و ستبراهای فرسایش‌يافته و ۵) شاخص بلوغ حرارتی مانند بازتاب ویترینيت.

با توجه به نبود چاه اكتشافي در منطقه مورد مطالعه، مدل‌سازی با در نظر گرفتن يك چاه فرضي و از راه برداشت سطحي انجام شد. داده‌های چينه‌شناسي، ستبرای، جنس واحدهای سنگی گروه شمشک و توالي پوشانده آن مربوط به مطالعات Shahidi (2008) و Fürsich et al. (2009) است. بدليل نداشتن اطلاع دقیق از میزان ستبرای‌های فرسایش‌يافته، ناپوستگي های كرتاسه بالايي - پالئوسن و پس از آن به عنوان فاز نبود رسوب گذاري در مدل‌سازی در نظر گرفته شده است.

تاریخچه تدفین مدل‌سازی شده در برش طرده نشان می‌دهد که گروه شمشک از زمان رسوب گذاري فرونسيتي تقریباً پیوسته و سریعی را بهويزه در زمان رسوب گذاري بخش قاعده‌اي و همچنین بخش بالايی نشان می‌دهد (شکل ۶).

بهمنظر مدل‌سازی حرارتی گروه شمشک، بهدلیل نداشتن آگاهی از تاریخچه حرارتی گذشته حوضه البرز و با توجه به فرضیه‌های ارائه شده در مورد جایگاه زمین‌ساختی گروه شمشک، مدل‌سازی حرارتی با فرض جایگاه پیش‌بوم و کافت و همچنین با فرض فرضیه‌های مختلف جریان حرارتی انجام شد تا تأثیر جریان‌های حرارتی متفاوت بر بلوغ پایانی و زمان تولید هیدروکربن از شیل سیاه قاعده‌ای مورد بررسی و مقایسه قرار گیرد. اين فرضیه‌ها عبارتند از:

- ۱) فرض جریان حرارتی ثابت از ۲۸ تا ۷۰ میلی‌وات بر متر مربع، این مقادیر قابل مقایسه با جریان حرارتی يك حوضه پیش‌بوم عادي است (Allen & Allen, 2005).
- ۲) فرض جریان حرارتی متغير با يك افزایش ۸۰ میلی‌وات بر متر مربع در زمان رسوب گذاري گروه شمشک. در اين دو مورد، جریان حرارتی تنها از پوسته و سنگ‌کرمه تأمین می‌شود.

۳) در نظر گرفتن يك جایگاه کافت با ۳ فرضیه متفاوت شامل: (الف) فرض يك فاز طولاني کافت از ۲۱۶ تا ۱۷۰ ميليون سال پيش در طول رسوب گذاري گروه شمشک، (ب) فرض دو مرحله کافت کوتاه يكى در محدوده زمانی بين ۲۱۶ تا ۱۹۹ ميليون سال (همزمان با رسوب گذاري بخش قاعده گروه شمشک) و دیگرى در محدوده زمانی بين ۱۸۳ تا ۱۷۰ ميليون سال (همزمان با رسوب گذاري بخش بالايی گروه شمشک). مدل‌سازی در اين دو حالت فرضیه‌های کافت ارائه شده توسط Shahidi (2008) و Brunet et al. (2007) مراجله کوتاه از ۱۸۳ تا ۱۷۰ ميليون سال (زمان توآرسين-آلنين) که مطابق با نظر

کمتر خرده‌های ویترینیت اولیه و ثانویه است. ماده آلی بی‌شک بیشتر حاصل تجزیه بقایایی باکتری‌ها و فیتوپلاتکتون‌های دریاچه‌ای است که به طور اولیه در حالت نابالغ و پیش از مرحله کاتاژن غنی از هیدروکربن (کروزن‌های نفت‌زا) بوده‌اند.

- در حال حاضر این رخساره آلی به عنوان سنگ مادر مؤثر است که دارای ماده آلی دگرسان شده و بسیار فقیر از هیدروژن است. از نظر بلوغ حرارتی این رخساره فوق بالغ است و در زون تولید گاز خشک (متان) قرار دارد.

- براساس نتایج مدل سازی حرارتی، شیل سیاه قاعده‌ای گروه شمشک در برش طرره در زمان ژوراسیک میانی تا کرتاسه آغازین پیش از عملکرد فازهای کوهزایی در البرز به طور کامل بالغ شده و مقدار زیادی هیدروکربن تولید و خارج کرده است.

- با توجه به بالا آمدگی البرز در زمان میوسن و عملکرد فاز کوهزایی لارامید به احتمال زیاد هیدروکربن‌های تولید شده شناس کمی برای حفظ شدگی داشته و در صورت تشکیل تجمعات اقتصادی در ادامه از بین رفته و فرسایش یافته‌اند.

- بر اساس نتایج بازسازی تاریخچه تدفین، این رسوبات در برش طرره تدفین بسیار زیادی (حدود ۷۰۰۰ متر) را تحمل کرده‌اند و با توجه به نبود فعالیت‌های آتششناکی در منطقه مورد مطالعه، بلوغ مشاهده شده بیشتر نتیجه این تدفین رسوبی ژرف است.

موجود در شیل سیاه قاعده‌ای به طور کامل بالغ شده و هیدروکربن تولید کرده است. این واحد طی تدفین‌های بعدی و در نتیجه تحمل بیشتر حرارت، وارد زون فوق بالغ شده است.

در تأیید نتایج ژئوشیمیایی و سنگ‌نگاری آلی، نتایج مدل سازی حرارتی نیز نشان می‌دهد که شیل سیاه قاعده‌ای طرره در حال حاضر فوق بالغ است که در زمان ژوراسیک میانی - کرتاسه آغازین پیش از عملکرد فازهای کوهزایی مهم البرز (مانند فاز لارامید در زمان کرتاسه پایانی - پالئوسن) هیدروکربن تولید کرده است.

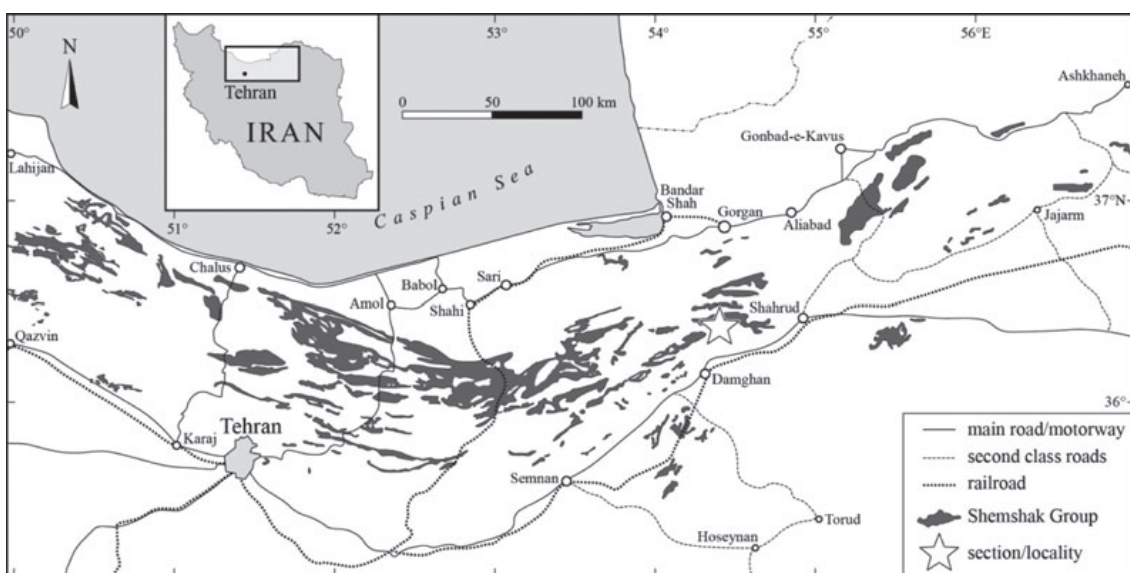
به احتمال زیاد هیدروکربن‌های تولید شده در امتداد گسل‌های موجود در گروه شمشک (Shahidi, 2008) به سمت بخش‌های بالایی و جانی گروه شمشک مهاجرت کرده و درون افق‌های ماسه‌سنگی به عنوان اولین سنگ مخزن احتمالی درون گروه شمشک به دام افتاده‌اند. البته با توجه به بالا آمدگی‌های بی‌شمار البرز و فرسایش‌های به دنبال آن به احتمال زیاد منابع احتمالی هیدروکربن به دام افتاده در مخازن ماسه‌سنگی گروه شمشک از بین رفته‌اند و بنابراین پتانسیل حفظ شدگی و اکتشاف منابع هیدروکربنی مایع در این ناحیه از البرز کم است. البته این رخساره‌های غنی از ماده آلی بسیار بالغ به عنوان مخازن نامتعارف گاز شیل (Shale Gas) قابل توجه هستند.

۵- نتیجه‌گیری

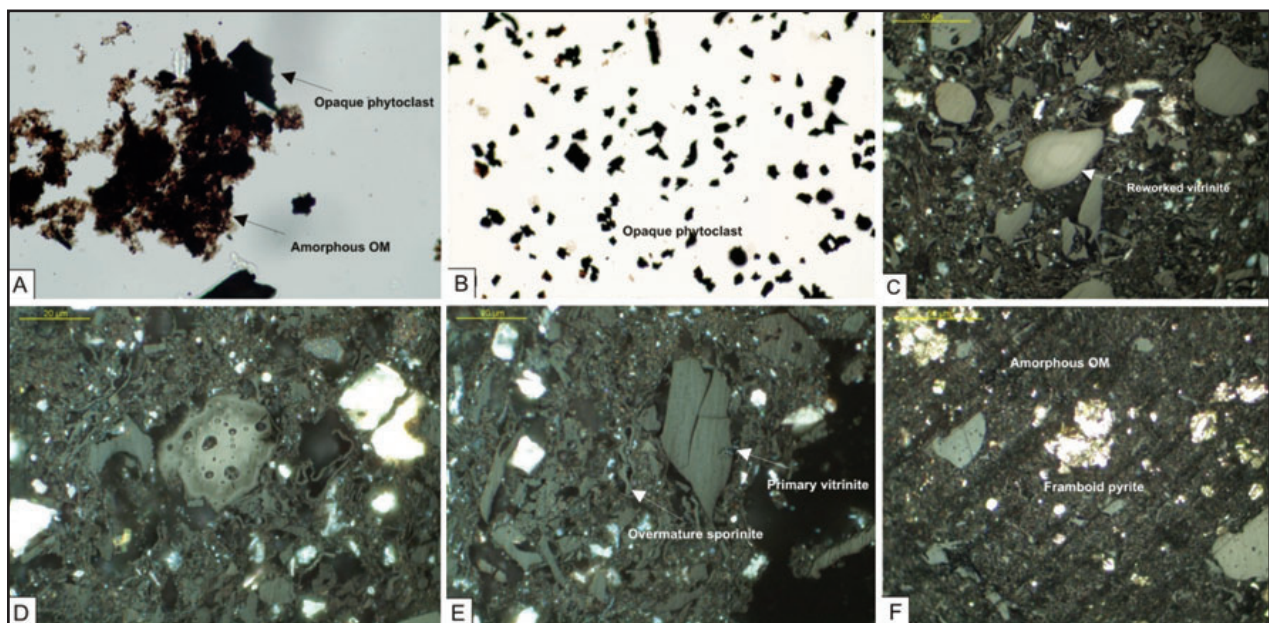
نتایج به دست آمده عبارت است از:

- شیل سیاه قاعده‌ای گروه شمشک در برش طرره با س্টبرای کمی بیش از ۱۰۰ متر و با میانگین کربن آلی با قیمانده حدود ۱ درصد در یک محیط دریاچه‌ای فقیر از اکسیژن رسوب کرده است.

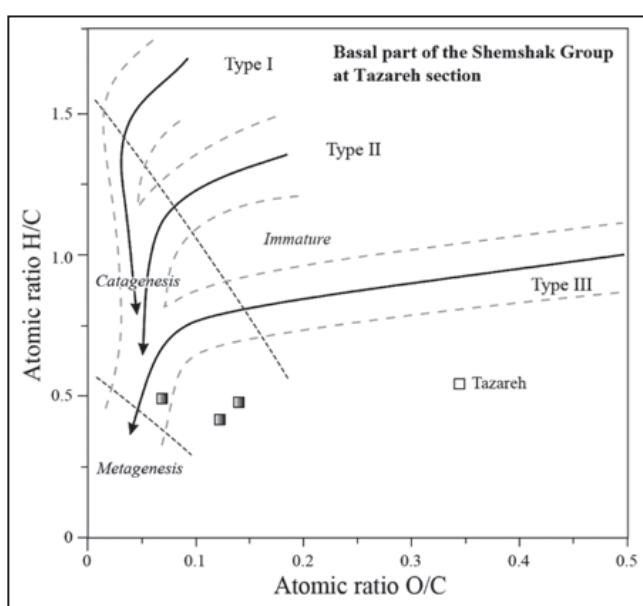
- اجزای آلی تشکیل دهنده این رخساره آلی بیشتر شامل ماده آلی بی‌شک و به مقدار



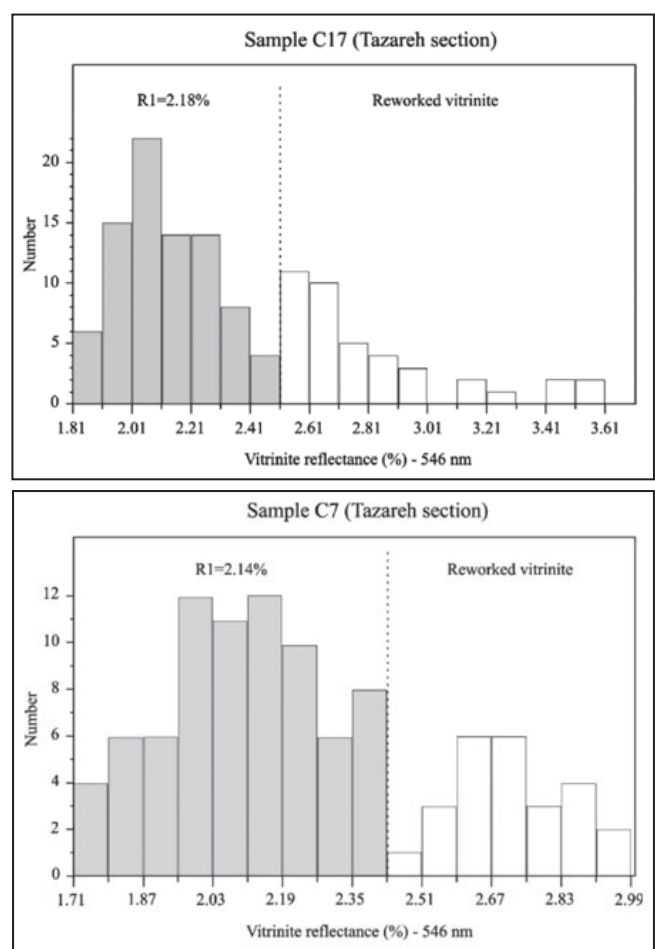
شکل ۱- موقعیت محدوده مورد مطالعه و رختمنوں گروه شمشک در حوضه رسوبی البرز در شمال ایران.



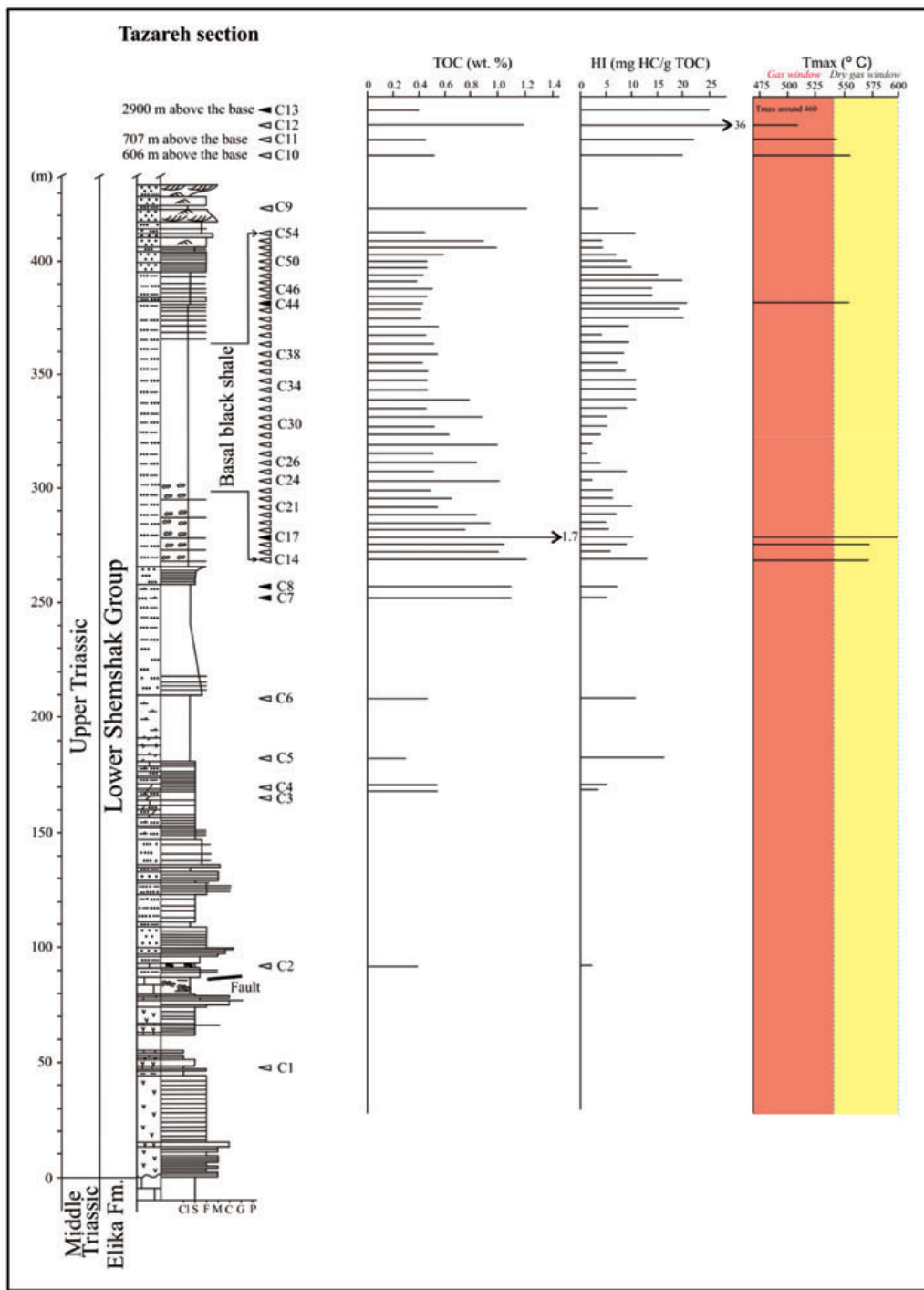
شکل ۲- تصاویر میکروسکوپی ماده آلی در نور عبوری (A, B) و انعکاسی (C, D, E, F) از شیل سیاه قاعده‌ای گروه شمشک در برش طزره. (A) ماده آلی به همراه فیتوکلاست‌های مات (Opaque phytoclasts) در اسلاید فیلتر نشده ($\times 100$). (B) قطعات فیتوکلاست مات در اسلاید فیلتر شده ($\times 200$). (C) قطعات ویترینیت با هاله‌های اکسیدی. (D) قطعات ویترینیت کشیده (ویترینیت حفره دار) طی بلوغ حرارتی زیاد. (E) ویترینیت اولیه همراه با اسپورهای بسیار بالغ که بازتاب مشابهی با ویترینیت دارد. (F) پیریت‌های فرمبوبیدال همراه با ماده آلی به شکل.



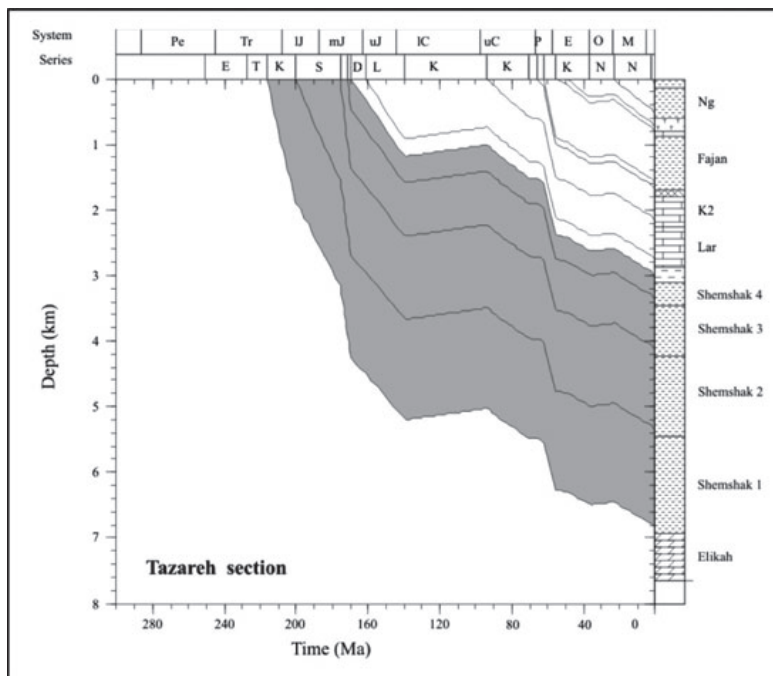
شکل ۴- موقعیت کروزن‌های انتخابی از بخش قاعده‌ای گروه شمشک روی نمودار نمونه‌های شیلی مورد مطالعه از بخش ون-کرولن.



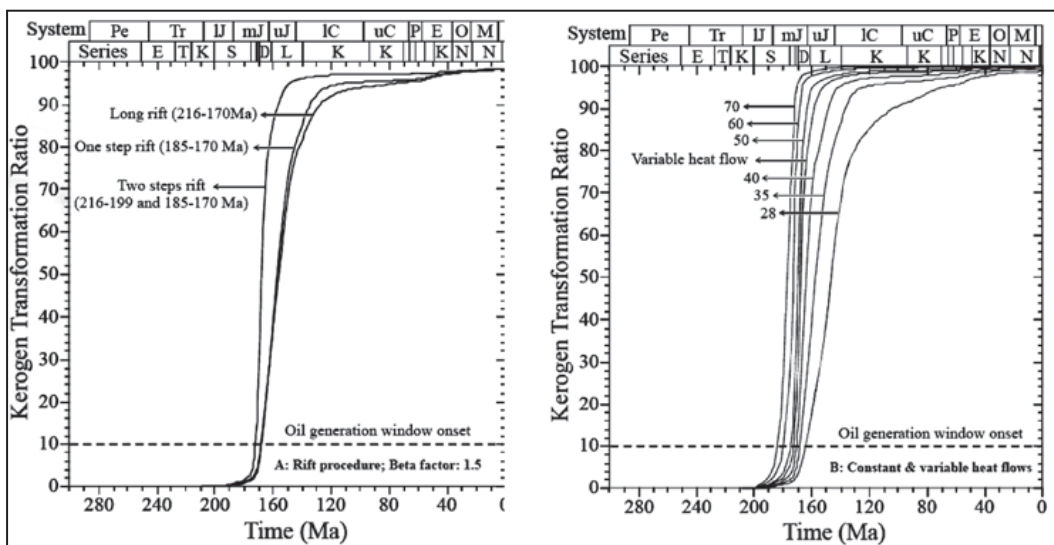
شکل ۳- نمودارهای مقادیر بازتاب ویترینیت در برخی نمونه‌های شیلی مورد مطالعه از بخش قاعده‌ای گروه شمشک در برش طزره.



شکل ۵- نمودارهای حاصل از نتایج پرولیز راک-اوال نمونه‌های مورد مطالعه از بخش قاعده‌ای گروه شمشک در برش طزره.



شکل ۶- منحنی تاریخچه تدفین گروه شمشک در برش طزره در البرز خاوری.



شکل ۷- منحنی‌های نرخ تبدیل کروزن در شیل سیاه قاعده‌ای گروه شمشک در برش طزره با شرایط حرارتی متفاوت.

جدول ۱- نتایج حاصل از پیروزی راک-اوال و تجزیه لکو نمونه‌های انتخابی از شیل سیاه قاعده‌ای گروه شمشک و چند نمونه دیگر از بخش‌های مختلف در برش طزره.

Sample	Section	Tmax	S1	S2	TOC	LECO	HI	Caco3
C1	Tazareh		0.06		0.02	0.54		58
C2	Tazareh		0.01	0.01	0.4	0.92	2	52
C3	Tazareh		0.01	0.02	0.53	1.34	3	40
C4	Tazareh		0.01	0.03	0.55	1.62	5	43
C5	Tazareh		0.01	0.05	0.3	2.07	16	60
C6	Tazareh		0.01	0.05	0.46	1.53	11	67

ادامه جدول ۱

Sample	Section	Tmax	S1	S2	TOC	LECO	HI	Caco3
C7	Tazareh		0.03	0.06	1.17	3.29	5	42
C8	Tazareh		0.03	0.08	1.14	2.66	7	47
C9	Tazareh		0.01	0.04	1.21	1.21	3	0
C10	Tazareh	554	0.03	0.11	0.54	0.98	20	0
C11	Tazareh	542	0.11	0.1	0.44	0.6	22	0
C12	Tazareh	510	0.05	0.44	1.19	1.63	36	0
C13	Tazareh		0.02	0.1	0.4	0.57	25	0
C14	Tazareh- Basal black shale	571	0.03	0.17	1.24	1.95	13	0
C15	Tazareh- Basal black shale		0.03	0.07	1.05	1.52	6	0
C16	Tazareh- Basal black shale	572	0.03	0.11	1.13	1.85	9	0
C17	Tazareh- Basal black shale	599	0.02	0.14	1.74	2.2	8	0
C18	Tazareh- Basal black shale		0.03	0.05	0.78	0.96	6	0
C19	Tazareh- Basal black shale		0.03	0.05	0.97	1.28	5	0
C20	Tazareh- Basal black shale		0.03	0.06	0.82	1.02	7	0
C21	Tazareh- Basal black shale		0.02	0.06	0.56	0.73	10	0
C22	Tazareh- Basal black shale		0.02	0.04	0.65	0.84	6	0
C23	Tazareh- Basal black shale		0.03	0.03	0.5	0.66	6	0
C24	Tazareh- Basal black shale		0.03	0.03	1.07	1.15	2	0
C25	Tazareh- Basal black shale		0.02	0.05	0.54	0.66	9	0
C26	Tazareh- Basal black shale		0.02	0.04	0.84	1.07	4	0
C27	Tazareh- Basal black shale		0.02	0.01	0.52	0.66	1	0
C28	Tazareh- Basal black shale		0.07	0.03	1.04	1.25	2	0
C29	Tazareh- Basal black shale		0.02	0.03	0.62	0.87	4	0
C30	Tazareh- Basal black shale		0.02	0.03	0.51	0.67	5	0
C31	Tazareh- Basal black shale		0.03	0.05	0.89	1.02	5	0
C32	Tazareh- Basal black shale		0.02	0.04	0.44	0.61	9	0
C33	Tazareh- Basal black shale		0.04	0.09	0.8	1.03	11	0
C34	Tazareh- Basal black shale		0.03	0.05	0.45	0.63	11	0
C35	Tazareh- Basal black shale		0.03	0.05	0.44	0.6	11	0
C36	Tazareh- Basal black shale		0.03	0.04	0.46	0.61	8	0
C37	Tazareh- Basal black shale		0.03	0.03	0.41	0.59	7	0
C38	Tazareh- Basal black shale		0.02	0.04	0.48	0.63	8	0
C39	Tazareh- Basal black shale		0.03	0.05	0.51	0.63	9	0
C40	Tazareh- Basal black shale		0.13	0.02	0.45	0.69	4	0
C41	Tazareh- Basal black shale		0.16	0.05	0.53	0.71	9	0
C42	Tazareh- Basal black shale		0.07	0.09	0.43	0.53	20	0
C43	Tazareh- Basal black shale		0.05	0.08	0.42	0.63	19	0
C44	Tazareh- Basal black shale	554	0.07	0.1	0.46	0.64	21	0
C45	Tazareh- Basal black shale		0.06	0.07	0.47	0.61	14	0
C46	Tazareh- Basal black shale		0.05	0.07	0.49	0.55	14	0
C47	Tazareh- Basal black shale		0.06	0.08	0.39	0.62	20	0
C48	Tazareh- Basal black shale		0.09	0.07	0.45	0.61	15	0
C49	Tazareh- Basal black shale		0.05	0.05	0.47	0.56	10	0
C50	Tazareh- Basal black shale		0.05	0.04	0.44	0.61	9	0
C51	Tazareh- Basal black shale		0.04	0.04	0.62	0.82	6	0
C52	Tazareh- Basal black shale		0.3	0.04	0.99	0.96	4	0
C53	Tazareh- Basal black shale		0.05	0.04	0.9	1.06	4	0
C54	Tazareh- Basal black shale		0.06	0.05	0.43	0.7	11	0

References

- Asereto, R., 1966- The Jurassic Shemshak Formation in central Elburz (Iran). Riv Ital Paleont Stratigr 72:1133–1182
- Allen, P. A. & Allen, J. R., 2005- Basin analysis principles and application. 2nd ed., Blackwell Scientific Publications, 549p.
- Beicip-Franlab, 1995- The basin modeling line and 1D quantitative modeling of hydrocarbons generation and expulsion for WINDOWS, Genex Single Well (User Guide) Beicip-Franlab, 464 p.
- Bordenave, M. L., 1993- (ed.) Applid petroleum geochemistry, Editions Technip, 524p.

- Brunet, M. F., Shahidi, A., Barrier, E., Muller, C., & Saidi, A., 2007- Subsidence evolution of Alborz and Kopet Dagh (northern Iran): Inferences on the south Caspian basin opening. International symposium on Middle East Basins Evolution, C16, December, 4. 5., CNRS PARIS, France.
- Espitalié, J., Deroo, G. & Marquis, F., 1985a- La pyrolyse Rock-Eval et ses applications. Patrie I. Rev. Inst. Fr. Pétrole, 40/5, 563-579.
- Espitalié, J., Deroo, G. & Marquis, F., 1985b- La pyrolyse Rock-Eval et ses applications. Patrie II. Rev. Inst. Fr. Pétrole, 40/6, 755-784.
- Espitalié, J., Deroo, G. & Marquis, F., 1986- La pyrolyse Rock-Eval et ses applications. Patrie III. Rev. Inst. Fr. Pétrole, 41/1, 73-89.
- Fürsich, F. T., Wilmsen, M., Seyed-Emami, K., Cecca, F., & Majidifard, M. R., 2005- The upper Shemshak Formation (Toarcian-Aalenian) of the eastern Alborz: Biota and paleoenvironments during a transgressive-regressive cycle. Facies, 51, 365-384.
- Fürsich, F. T., Wilmsen, M., Seyed-Emami, K. & Majidifard, M. R., 2009- Lithostratigraphy of the Upper Triassic-Middle Jurassic Shemshak Group of northern Iran. In: Brunet, M.-F., Wilmsen, M. & Granath, J. W (eds), South Caspian to Central Iran Basins. Geological Society London, Special Publication 312. 129-160.
- Hunt, J. W., 1995- Petroleum geochemistry and geology, 2nd ed., New York, W. H. Freeman and Company. 742p.
- Ibrahimbas, A. & Riediger, C., 2004- Hydrocarbon source rock potential as determined by Rock-Eval 6/TOC pyrolysis, Northeast British Columbia and Northwest Alberta. British Columbia Ministry of Energy and Mines, summary of activities 2004.7-18.
- Littke, R. & Leythaeuser, D., 1993- Migration of oil and gas in coals. In: Law, B. E. & Rice, D. D. (eds): Hydrocarbons from coal. American Association Petroleum Geologists Studies in Geology, 38, 219-236.
- Mongenot, Th., Tribouillard N. P., Desprairies A., Lallier-Vergès E. & Laggoun-Défarge, F., 1996- Trace elements as palaeoenvironmental markers in strongly mature hydrocarbon source rocks: the Cretaceous La Luna Formation of Venezuela. Sedimentary Geology, 102, 23-37.
- Nzoussi-Mbassani, P., Copard, Y. & Disnar, J. R., 2005- Vitrinite recycling: diagnostic criteria and reflectance changes during weathering and reburial. International Journal of Coal Geology, 61, 223-239.
- Rad, F. K., 1982- Hydrocarbon potential of the Eastern Alborz Region, NE Iran. Journal of Petroleum Geology, 4, 419-435.
- Rahimpour- Bonab, H., Zamani, Z. & Kamali, M. R., 2002- Source rock evaluation of Shemshak Formation in the central Alborz basin: A preliminary investigation. Iranian International Journal of Science. 3/2, 235-262.
- Seyed-Emami, K., 2003-Triassic in Iran, Facies, 48, 91-106.
- Seyed-Emami, K., Fürsich, F. T., Wilmsen, M., Majidifard, M. R., Cecca, F., Scharirer, G. & Shekarifard, A., 2006- Stratigraphy and ammonite fauna of the Upper Shemshak Formation (Toarcian-Aalenian) at Tazareh, eastern Alborz, Iran. Journal of Asian Earth Sciences. 28, 259-275.
- Shahidi, A., 2008- Tectonic evolution of Northern Iran (Alborz and Kopet Dagh) since Mesozoic. PhD thesis, University Paris 6-Pierre et Marie Curie, 500 p.
- Shekarifard, A., Baudin, F., Schynder, J. & Seyed-Emami, K., 2009- Characterization of organic matter in the fine-grained siliciclastic sediments of the Shemshak Group (Upper-Triassic to Middle Jurassic) in the Alborz Range, northern Iran. In: Brunet, M.-F., Wilmsen, M. & Granath, J. W (eds), South Caspian to Central Iran Basins. Geological Society London, Special Publication 312. 161-174.
- Shekarifard, A., Baudin, F., Seyed-Emami, K., Schynder, J., Laggoun-Défarge, F., Riboulleau A. Brunet, M. F. & Shahidi, A., 2012- Thermal maturity of the Upper Triassic-Middle Jurassic Shemshak Group (Alborz Range, Northern Iran) based on organic petrography, geochemistry and modelling: implications for source rock evaluation and petroleum exploration, Geological Magazine, 149(1), 19-38 p.
- Taylor, G. H., Teichmuller, M., Davis, A., Diessel, C. F. K., Littke, R. & Robert, P., 1998- Organic petrology. Borntraeger, Berlin-Stuttgart. 704 p.
- Tissot, B. P. & Welte, D. H., 1984- Petroleum Formation and Occurrence. Springer, Berlin. 699 p.
- Ungerer, Ph., Burrus, J., Doligez, B., Chenet, P. Y. & Bessis, F., 1990- Basin evaluation by integrated 2D modeling of heat transfer, fluid flow, hydrocarbon generation and migration. Bull. Am. Assoc. Petr. Geol., 74, 309-335.
- Vandenbroucke, M. & Largeau, C., 2007- Kerogen origin, evolution and structure, Organic Geochemistry, 38, 719-833.
- Wilmsen, M., Fürsich, F. T., Seyed-Emami, K., Majidifard, M. R. & Taheri, J., 2009- The Cimmerian Orogeny in northern Iran: tectono-stratigraphic evidence from the foreland, Terra Nova, 21, 211-218.

in the earth surface displacement studies. Indeed using temporal variations of the earth surface deformation, the seismotectonics of the area can be distinguished. Deformation modeling of the area can be accessed using the analyzing of repeated geodetic measurements. In Tehran area the earthquake studies is an important task and in this paper we are going to use GPS measurements for this field. Here 35 GPS stations cover whole of Tehran which consists North Tehran fault. These stations were occupied at least 2 annual epochs and some of them were measured more than 4 times. After processing the acquired data and analyzing the results, the velocity field was obtained. Deformation analysis of the velocity field shows a small left lateral movement about 0.5-2 mm/year and more or less the same value for shortening in the northern band Tehran area. This value is not constant along the northern band and it seems the eastern part where we reach the Mosha fault the deformation is more significant than western part. The observed rate is equal to a total movement of ~5km during 2.5-10 my which is consistent with geological studies carried out in this area.

Key words: Geodesy, Seismotectonic, Northern band of Tehran, Deformation, GPS

For Persian Version see pages 211 to 218

*Corresponding author: Y. Djamour; E-mail:djamour@ncc.org.ir

Organic Matter Characterization and Thermal Modeling of the Basal Black Shale from the Shemshak Group (Upper Triassic- Middle Jurassic) in the Tazareh Section, Eastern Alborz, Northern Iran

A. Shekarifard^{1*}, F. Baudin², K. Seyed-Emami³, J. Schnyder² & H. Rahimpour-Bonab⁴

¹School of Chemical Engineering, Institute of Petroleum Engineering, University College of Engineering, University of Tehran, Tehran, Iran.

²Institut des Sciences de la Terre de Paris, UPMC-Univ. Paris06 et CNRS, UMR 7193, Paris, France.

³School of Mining Engineering, University College of Engineering, University of Tehran, Tehran, Iran.

⁴School of Geology, University College of Science, University of Tehran, Tehran, Iran.

Received: 2011 February 27 Accepted: 2011 June 07

Abstract

Geochemical characteristics (Rock-Eval pyrolysis and elemental analysis of kerogen), palynofacies and organic petrography (using light transmitted-reflected-uv microscopy) of the basal black shale from the Shemshak Group (Upper Triassic- Middle Jurassic) in the Tazareh section (Eastern Alborz) have been investigated. The basal black shale is rich in amorphous organic matter with fewer amounts of vitrinite particles that was deposited in lacustrine environment under anoxic to suboxic conditions. According to vitrinite reflectance values (mean VR_r=2.1%), organic matter of the basal black shale has experienced high thermal maturity during deep burial. In this study samples residual organic carbon content is 1 wt.% on average. Thermal modeling results using 1D Genex4 software show that the basal black shale of the Shemshak Group became mature during the Middle Jurassic-Lower Cretaceous time and generated hydrocarbon. At the present day, this organic facies in the Tazareh section is thermally over-mature and depleted in hydrogen and is located in the dry gas generation window. Presently, these sediments are considered as shale gas resources.

Keywords: Thermal modeling, Petroleum source rock evaluation, Shemshak Group, Upper Triassic-Middle Jurassic, Tazareh section, Alborz, Northern Iran.

For Persian Version see pages 219 to 228

*Corresponding author: A. Shekarifard; E-mail: ashekary@ut.ac.ir